

**Research Article**

Examining the *in vitro* and *in vivo* Effects of the HL-10 Peptide on the Immune System Modulation and Anticancer Activities of Hela Cancer Cells

Maryam Rezavand, Zahra Setayeshmehr*, Fatemeh Hadadi

Department of Biology, Faculty of Sciences, Zabol University, Zabol, Iran

*Corresponding author: setayeshmehr.zahra@yahoo.com

Received: 17 M^AY 2024

Accepted: 29 August 2024

DOI:

Abstract

The present study aimed to assess the anti-cancer properties, immune system regulation, and apoptosis signaling pathway impact of the HL-10 peptide through gene expression analysis of Bcl-2, Cytochrome c, and Bim. HeLa cervical cancer cells were subjected to treatment with HL-10 peptide for both 24 and 48 hours at varying concentrations. To assess the *in vivo* impacts of the HL-10 peptide, BALB-c mice were infected with cervical cancer. Serum levels of IFN- β and IL-4 were subsequently quantified via ELISA. Using real-time PCR, the expression of the genes Bim, Cytochrome c, and Bcl-2 in cells and tumors treated with the HL-10 peptide was analyzed, along with the percentage of viable cells and toxicity. The HL-10 peptide decreases the survival rate of HeLa cells in a way that is dependent on both the concentration and duration of exposure. The HL-10 peptide exhibited an IC₅₀ value of 18.49 μ M after 24 hours and 30.62 μ M after 48 hours. The findings demonstrated that the HL-10 peptide exerted a significant impact on the expression of the investigated genes. The HL-10 peptide upregulated the expression of the BIM and Cytochrome c genes while downregulating the expression of the Bcl-2 gene in cancer cells treated with the HL-10 peptide, both *in vitro* and *in vivo*. The results indicated a significant decrease in the quantity of inflammatory components INF- γ , IL-1 β , and IL-6 in the serum of untreated cancer mice (Sham) compared to untreated healthy mice (NC). Conversely, there was a significant rise in the concentration of IL-4 ($p < 0.05$). The HL-10 peptide likely functions in the modulation of the immune system and in the intrinsic pathways of apoptosis. The HL-7 peptide appears to be a viable and auspicious candidate in the realm of cervical cancer treatment.

Keywords: Peptide, Cancer, Apoptosis, Inflammatory factor, Immune system.



مقاله پژوهشی

بررسی خاصیت ضد سرطانی و تنظیم کنندگی سیستم ایمنی سلول‌های سرطانی Hela تیمار شده با پپتید HL-10 در شرایط برون تنی و درون تنی

مریم رضوانند، زهرا ستایش مهر^{*}، فاطمه حدادی

گروه زیست‌شناسی، دانشکده علوم پایه، دانشگاه زابل، زابل، ایران

^{*}مسئول مکاتبات: setayeshmehr.zahra@yahoo.com

تاریخ پذیرش: ۱۴۰۳/۰۶/۰۸

تاریخ دریافت: ۱۴۰۳/۰۲/۲۸

DOI:

چکیده

در این مطالعه خاصیت ضد سرطانی، تنظیم کنندگی سیستم ایمنی و همچنین اثر پپتید 10-HL بر مسیر سیگنال‌دهی آپوپتوز با اندازه‌گیری بیان ژن‌های Bcl-2، Cytochrome c، Bim و IL-6 در سلول‌های سرطان دهانه رحم HeLa با پپتید 10-HL در غلظت‌های مختلف و زمان‌های ۲۴ و ۴۸ ساعت تیمار شدند. به منظور ارزیابی اثرات درون تنی پپتید 10-HL، سرطان دهانه رحم در موش balb-c القا شد. سپس، سطوح γ-IFN و IL-6 سرم، با استفاده از ELISA اندازه گیری شد. سمیت و درصد بقای سلولی، بیان ژن‌های Bcl-2، Cytochrome c، Bim و Real Time PCR به روش HL-10 با پپتید 10-HL بررسی شد. پپتید 10-HL زنده‌مانی سلول‌های HeLa را به صورت وابسته به غلظت و زمان کاهش می‌دهد. مقدار IC50 برای پپتید 10-HL در زمان ۲۴ ساعت، ۱/۴۹ میکرومولار و در زمان ۴۸ ساعت، ۳۰/۶۲ میکرومولار بدست آمد. نتایج نشان داد که پپتید 10-HL تأثیر معنی‌داری بر بیان ژن‌های مورد مطالعه داشت. پپتید 10-HL باعث افزایش در بیان ژن Cytochrome c و BIM و KLF10 در سلول‌های سرطانی درمان شده با پپتید 10-HL در مقایسه با سلول‌های درمان نشده در شرایط درون تنی و برون تنی شد. همچنین، نتایج نشان داد که غلظت فاکتورهای النهایی γ-INF، IL-1β و IL-6 در سرم موش‌های سرطانی بدون تیمار (Sham) نسبت به موش‌های سالم بدون تیمار (NC) کاهش معنادار، در حالیکه غلظت IL-4 افزایش نشان داد ($p < 0.05$). احتمالاً پپتید 10-HL در مسیرهای ذاتی آپوپتوز و همچنین در تنظیم سیستم ایمنی نقش دارد. به نظر می‌رسد پپتید 7-HL می‌تواند یک کاندید مناسب و امیدوارکننده برای درمان سرطان دهانه رحم باشد.

کلمات کلیدی: پپتید، سرطان، آپوپتوز، فاکتور التهابی، سیستم ایمنی.

مقدمه

تحقیقات نشان داده است که قسمتهای مختلف بدن عقرب یا سموم آنها، جهت درمان بسیاری از بیماری‌ها از قبیل سرطان مورد استفاده قرار می‌گیرد (۲۳). سموم عقرب‌ها دارای ترکیبات مختلفی از جمله، پپتیدها، یون‌ها، مواد معدنی و آنزیم‌ها می‌باشند (۳۵). پپتیدهای فعال زیستی موجود در سموم عقربها را به

عقرب‌ها، گروهی سازش یافته از حیوانات سمی هستند که از ۱۵۰۰ میلیون سال در کره زمین زنده‌گی می‌کرده اند. عامل اصلی بقای انها، تولید سموم قوی است که برای کشتن یا فلنج کردن طعمه و شکارچیان مورد استفاده قرار میدهند (۱۰). سموم عقرب‌ها از دیرباز است که در پزشکی سنتی کاربرد دارد.

(U937) گردید، در صورتی که هیچ اثر سمیت معناداری بر سلول‌های لنفوسيت‌های طبیعی انسان نداشت. مشاهدات بیشتر نشان داد که پپتید بنگالین خواص ضد سرطانی خود را از طریق افزایش بیان ژن‌های کاسپاز ۹و۳، افزایش بیان نسبت *Bax* به *Bcl-2* و افزایش نفوذپذیری غشای میتوکندری اعمال کرد (۶). در مطالعه‌ای، اثر سم عقرب *Butthus martensii* (Karsch) بر سلول‌های گلیوما در شرایط درون‌تنی و برون‌تنی بررسی شد. نتایج نشان داد که سم جدا شده منجر به القای آپوپتوز در رده سلولی گلیومای- MG U251 در شرایط برون‌تنی شد، همچنین رشد سلول‌های تومور گلیوما را در درون بدن سرکوب کرد (۲۱). در شرایط طبیعی، سیستم ایمنی بدن سبب شناسایی و از بین بدن سلول‌های سرطانی در ابتدای شکل‌گیری می‌شود. بنابراین، بررسی وضعیت سیستم ایمنی و عوامل موثر بر آن در محیط شیمیایی سلول‌های توموری نقش بسیار مهمی در تشخیص، پیشرفت و درمان سرطان دارد. در این راستا، مطالعات نشان داده اند که سایتوکاین‌ها با تنظیم پاسخ ایمنی قادر به ایجاد یا مهار بسیاری از بیماری‌ها از جمله سرطان هستند (۱۵). پاسخ ایمنی، یکی از حیاتی‌ترین پاسخ‌های بدن هنگام مواجهه با انواع تومورها است که این قبیل واکنش‌های طبیعی، شامل ترشح سایتوکاین‌هایی مانند ایترافرون گاما (INF-γ) و ایتلرولکین ۴ (IL-4) می‌باشد (۲۲). ثابت شده است که افزایش بیان IL-4 در افزایش تکثیر و رشد سلول‌های توموری و همچنین متاستاز آنها در بدن نقش دارد. از طرفی دیگر، سایتوکاین دیگری به نام INF-γ، یک عامل متوقف‌کننده رشد سلول‌های توموری، تقویت فعالیت ماکروفاژها و سلول‌های کشنده طبیعی است (۲).

گزارش‌ها نشان می‌دهد که در انواع سرطان‌ها بیان ژن‌های مرتبط با کanal‌های یونی کترول می‌گردد. تنظیم بیان کanal‌های یونی منجر به تغییر مسیرهای

دو دسته کلی پپتیدهای دارای پل دی‌سولفیدی (DBPs) و پپتیدهای فاقد پل دی‌سولفیدی (NDBPs) تقسیم می‌کنند (۳۴). نوروتوکسین‌ها که جز پپتیدهای دارای پل دی‌سولفیدی می‌باشند، قادرند تا عملکرد انواع کanal‌های یونی هدف در سلول‌ها را اصلاح یا مسدود سازند. بنابراین، برخی از نوروتوکسین‌ها، به عنوان هدف درمانی برای توسعه دارو مورد استفاده قرار می‌گیرند که دارای فعالیت‌های ضد میکروبی، ضد مالاریایی، سرکوب‌کننده سیستم ایمنی و ضد سرطانی می‌باشند (۲۳). پپتیدهای بدون پل دی‌سولفیدی جز مهمی از سموم عقرب‌ها می‌باشند، در عین حال درصد کمی از پپتیدها را شامل می‌شوند. از این رو، توجه محققین، معمولاً به سمت پپتیدهایی با وزن مولکولی پایین تغییر یافت. با توجه به کشف فعالیت بیولوژیکی متنوع NDBPs را میتوان به عنوان کاندیدای دارویی امیدبخش در آینده مورد بررسی بیشتر قرار داد (۳۴). در دهه‌های اخیر، پیشرفت قابل توجهی در تشخیص و روش درمان بیماری سرطان وجود داشته است. با این حال، عدم انتخاب پذیری مناسب برای سلول‌های توموری و بنابراین هدف‌گیری غیر اختصاصی سلول‌های سالم با اثرات جانبی زیان بار، به طور جدی اثر داروهای شیمی درمانی موجود در بازار را محدود می‌کند (۲۴و۹). پپتیدهای ضد سرطانی، ترکیبات مهمی برای طراحی داروهای هدف‌گیری توموری و متعاقباً جلوگیری از توسعه و پیشرفت سرطان می‌باشند (۱۶، ۱۴). مطالعات نشان داده اند که پپتیدهای استخراجی از سم عقرب بواسطه توقف چرخه سلولی، تنظیم کanal‌های یونی، مهار تکثیر و رگ‌زایی و همچنین القای آپوپتوز به درمان سرطان کمک می‌کنند (۱۵). به عنوان مثال، پپتیدی به نام بنگالین (Bengalin) استخراجی از سم عقرب سیاه هندی (*Heterometrus bengalensis*) سبب مهار رشد و تکثیر سلول‌های سرطانی از جمله لوسی انسانی

RPMI1640 حاوی FBS ده درصد و آنتی بیوتیک پنی سیلین- استرپتوزوسین یک درصد کشت داده شدند. فلاسکهای حاوی سلول در ۳۷ درجه سانتیگراد، ۵ درصد CO_2 و ۹۵ درصد رطوبت انکوبه شدند. پاساژهای سلول‌ها در دوره‌های زمانی ۴۸ ساعت و متعاقباً جایگزین محیط کشت سلولی تازه انجام گردید، تا زمانیکه تراکم سلول‌ها به ۷۰ درصد رسید.

اندازه‌گیری زندehمانی سلول: برای بررسی درصد زندehمانی سلول‌ها، از روش MTT استفاده شد. ابتدا سلول‌ها جهت چسبیدن به کف فلاسک محیط کشت و ایجاد شرایط پایدار، به مدت ۲۴ و ۴۸ ساعت کشت داده شدند. سپس میزان 10×5 سلول شمارش و به چاهکهای پلیتیکی ۹۶ خانه‌ای اضافه شدند. تیمار سلول‌ها با غاظنهای ۰، ۵، ۱۰، ۱۵، ۲۰، ۳۰، ۴۰، ۵۰، ۶۰، ۷۰ و ۸۰ میکرومولار پتید HL-10 در زمان‌های مختلف ۲۴ و ۴۸ ساعت انجام شد. پس از اضافه شدن محلول MTT (۱۰ میکرولیتر)، پلیت‌ها به مدت ۴ ساعت در تاریکی انکوبه شدند و پس از اضافه شدن DMSO (۱۵۰ میکرولیتر) به هر چاهک، میزان جذب پلیت‌ها در طول موج ۵۴۰ نانومتر توسط دستگاه الایزا ریدر خوانده شد. درصد زیست‌پذیری سلول‌ها با استفاده از فرمول زیر اندازه‌گیری شد: Cell viability (%) = $[A]_{\text{sample}} / [A]_{\text{control}} \times 100$ در این رابطه؛ $[A]$ میزان جذب نمونه و A میزان جذب کنترل است.

حیوانات: تمامی آزمایشات بر روی موش‌های ماده نژاد balb/c (تهیه شده از موسسه انستیتو پاستور کرج)، در سن ۶-۸ هفته‌ای و محدوده وزنی ۲۵-۳۰ گرم انجام شد. کلیه مراحل آزمایشات درون تنی توسط کمیته اخلاق دانشگاه زابل تایید شد (IR.UOZ.REC.1401.012). موش‌ها تحت شرایط کنترل شده از لحاظ نور، دما و رطوبت در مرکز

سیگنانلینگ داخل سلولی و متعاقباً تنظیم فعالیت سلول‌های ایمنی می‌شود (۱۵). بررسی‌ها نشان داده است که سم عقرب *Tityus serrulatus* فعالیت تنظیم‌کنندگی ایمنی ماکروفاژها را بر عهده دارد. گزارشات نشان داده است که تزریق سم عقرب به موش سبب افزایش بیان فاکتور نکروز توموری آلفا IL-1 β (TNF- α) و ایترلوکین‌ها IL-6، IL-8 و IL-10 در ماکروفاژها می‌شود (۲۰). همچنین برخی از پتیدهای فاقد پیوند دی‌سولفیدی مانند پارابوتوفورین (Opistopurin) و اپیستوپورین (Parabutopurin) علاوه بر خواص ضد قارچی و ضد باکتریایی دارای فعالیت تنظیم کننده سیستم ایمنی نیز هستند. این پتیدها قادر به فعال کردن اگزوسیتوز یا مهار تولید سوپراکسید در گرانولوسمیت‌ها هستند (۳۱). بنابراین، سم عقرب و اجزای آن، تأثیر بسزایی در تنظیم سیستم ایمنی دارند و تحقیقات بیشتر در این زمینه می‌تواند سم عقرب را به عنوان یک عامل مهم در درمان بیماری‌های مرتبط با سیستم ایمنی و سرطان معرفی کند (۱۸). به دلیل وجود پتیدهای فعال زیستی در سم عقرب، کشف فعالیت بیولوژیکی پتیدها به ویژه در درمان سرطان و متعاقباً معرفی آن‌ها به عنوان عوامل امیدوارکننده در ساخت داروها، مطالعات اخیر به سمت بررسی بیشتر این نوع ترکیبات پیش رفته است. در مطالعات قبلی مان، خواص ضد سرطانی پتید HL-10 بر رده‌های سلول سرطانی A549، MCF-7 و HepG2 بررسی شد (۲۶ و ۲۷). در مطالعه حاضر، اثر پتید HL-10 بر رده سلول سرطانی دهانه رحم در شرایط برون تنی و درون تنی بررسی گردید.

مواد و روش‌ها

کشت و نگهداری سلول: پس از خریداری سلول‌های سرطانی دهانه رحم Hela از بانک سلولی انستیتو پاستور ایران، سلول‌ها در محیط کشت

تهیه سلول‌ها از بافت توموری جهت سنجش بیان
ژن‌های **Bcl-2**، **Cyt c** و **Bim**: تومور جداسازی
شده، در ۲ میلی‌لیتر از محیط کشت حاوی ۱۰ درصد
FBS با استفاده از کف سرنگ ۲ میلی‌لیتری خرد شد
و تجمعات بافتی خارج گردید. برای تهیه
سوسپانسیون سلولی، بافت تومور از یک شبکه سیمی
به قطر ۰/۲ میلی‌متری عبور داده شد. پس از افزودن
۱۰ میلی‌لیتر از محیط کشت، نمونه‌ها به مدت ۱۰
دقیقه (۳۰۰۰ دور در دقیقه) سانتریفیوژ شدند. سپس
رسوب سلولی در محیط کشت RPMI حاوی
۱۰ درصد حل گردید. پس از شمارش و سنجش
میزان زنده مانی سلول‌ها با رنگ آمیزی، از هر نمونه،
سوسپانسیون سلولی با غلظت 1×10^7 سلول تهیه شد.
این سلول‌ها در پلیت‌های ۲۴ خانه‌ای به مدت ۷۲
ساعت در انکوباتور کشت داده شدند. سپس مایع
رویی جمع آوری و تا زمان استفاده در دمای ۲۰
درجه سانتی گراد نگهداری شد.

استخراج **RNA** و سنتز **cDNA**: برای انجام میزان
بیان ژن، از روش Real time PCR استفاده شد. ابتدا
سلول‌ها با غلظت 1×10^7 سلول در محیط مکمل
RPMI1640 کشت داده شدند. پس از گذشت ۲۴
ساعت، سلول‌های Hela، با غلظت‌های ۱۵ و ۲۵
میکرومولار از پیتید HL-10 به مدت ۴۸ ساعت تیمار
شدند. سپس جداسازی RNA توسط کیت Denazist
از آن، کیت Co. Mashhad, Iran از سلول‌ها استخراج گردید. پس
از آن، کیت Kiagene Fanavar, Tehran, Iran، برای
سنتز **cDNA** استفاده شد. ابتدا مخلوطی شامل ۳
میکرولیتر RNA کل، ۱ ماکرو‌لیتر پرایمر الیکو dT و
۱۰ ماکرو‌لیتر آب عاری از نوکلئاز تهیه گردید و به
دبیل آن، محلول حاصله به مدت ۵۰ دقیقه در دمای
۷۰ درجه سانتی‌گراد انکوبه شد. به مخلوط ایجاد شده،
۲ میکرولیتر dNTP ۱۰ میلی‌مولا، ۶ میکرولیتر بافر
PCR ۵X و یک میکرولیتر آنزیم ترانس کرپتاز

حیوانات دانشکده دامپزشکی دانشگاه زابل نگهداری
شدند.

ایجاد مدل سرطان دهانه رحم در موش: به منظور
القای مدل توموری سرطان گردن رحم در موش، از
رده سلول سرطانی دهانه رحم Hela استفاده شد که
به میزان ۲۰۰ میکرولیتر سوسپانسیون سلولی در سالین
استریل (1×10^7 سلول) به صورت زیر پوستی به
ناحیه فلانک راست هر موش تزریق شد (۲۹). پس از
گذشت ۱۰ روز و براساس حجم تومور، ۲۴ سر موش
به چهار گروه ($n=6$) تقسیم شدند: گروه کنترل منفی
(NC: Negative Control) (گروه موش‌های سالم که
تحت عمل جراحی قرار نگرفتند و فقط سالین نرمال
دریافت کردند); گروه شم (sham) (گروه موش‌هایی
که بدون دریافت هیچ نوع تیماری تحت عمل جراحی
قرار گرفتند و فقط سالین نرمال دریافت کردند); و
گروه‌های درمانی (Treatments) (گروه‌هایی که
دریافت کننده پیتید HL-10 با غلظت‌های ۵ و ۱۰
میلی‌گرم بر کیلوگرم بودند). تمام تیمارها به مدت
سه هفته هر روز به صورت داخل صفاقی تزریق
شدند.

سنجش فاکتورهای التهابی در سرم: تقریباً ۵ هفته
پس از القای سرطان، موش‌ها با زایلازین (۱۰ میلی
گرم بر کیلوگرم) و کاتامین (۱۰۰ میلی‌گرم بر
کیلوگرم) بیهوش شدند. پس از باز کردن قفسه سینه با
کمک قیچی و پنس استریل، با استفاده از سرنگ
انسولین عمل خون گیری از قلب انجام شد. پس از
انتقال خون به میکروتیوب، نمونه مورد نظر به مدت ۵
دقیقه و با دور rpm ۱۵۰۰۰ سانتریفیوژ گردید. سپس
مایع رویی جمع آوری و تا زمان استفاده در دمای
۲۰-۲۰ درجه سانتی گراد نگهداری شد. کیت‌های
ELISA برای اندازه گیری γ -IFN-IL-4، IL-6 و IL-1 β
طبق پروتکل سازنده استفاده شد.

درجه سانتیگراد به مدت ۲۰ ثانیه و ۷۲ درجه سانتیگراد به مدت ۲۰ ثانیه تنظیم گردید. از ژن GAPDH، به عنوان کنترل داخلی استفاده شد. توالی پرایمرها برای آنالیز Real time PCR در جدول ۱ آمده است.

آنالیز آماری: داده‌ها با استفاده از نرم‌افزار Tuckey و آزمون ANOVA و GraphPadPrism تجزیه و تحلیل شدند. نمودارها با نرم‌افزار GraphPadPrism رسم شدند. سطح معناداری ۰/۰۵ در نظر گرفته شد.

معکوس اضافه شد و به ترتیب انکوپاسیون با دمای ۳۷ درجه سانتی گراد در زمان ۵ دقیقه و دمای ۷۰ درجه سانتیگراد در زمان ۵ دقیقه انجام شد. در نهایت cDNA ساخته شده از RNA، در دمای ۲۰- درجه سانتیگراد نگهداری و ذخیره گردید.

Real time PCR: واکنش RT-PCR، در دستگاه Real Time PCR (مدل X960B) انجام شد. در هر واکنش، محلولهای مورد استفاده شامل ۱۰ میکرولیتر SYBR Green PCR master mix، ۳ میکرولیتر پرایمر و ۶ میکرولیتر آب عاری cDNA از نوکلئاز بودند و زمان و دمای مناسب برای انجام واکنش‌ها، ۹۵ درجه سانتیگراد به مدت ۱۰ ثانیه، ۵۵

جدول ۱- توالی پرایمرهای استفاده شده در این مطالعه

Genes	Primer sequence 5'	3'
GAPDH	Forward: AGCCAAAAGGGTCATCATC Reverse: TAAGCAGTGGTGGTGCAGG	
Bcl-2	Forward: GGACCCAGAATACCAAGTGCAG Reverse: GTTGCTGGTGAGTGTGCATTCC	
CytC	Forward: AAGGGAGGCAAGCACAAGACTG Reverse: CTCCATCAGTGTATCCTCTCCC	
Bim	Forward: TAAGTTCTGAGTGTGACCGAGA Reverse: GCTCTGTCAGGGAGGTAGG	

نتایج

دهانه رحم Hela تیمارشده با غلظت‌های ۱۵ و ۲۵ میکرومولار در شرایط برون تنی و غلظت‌های ۵ و ۱۰ میلی‌گرم/کیلوگرم پیتید ۱۰-HL نشان می‌دهد. نتایج حاصل از این مطالعه در مطالعات برون تنی نشان داد که پیتید ۱۰-HL، اثر معناداری بر روی بیان ژن‌های Bcl-2، CytC و Bim داشت، بدین صورت که پیتید ۱۰-HL، سبب افزایش معنادار بیان ژن Bim و CytC در سلول‌های سرطانی تیمار شده نسبت به سلول‌های بدون تیمار شد، در حالیکه تغییرات بیان ژن برای Bcl-2 کاهشی بود ($p < 0/05$). همچنین نتایج مطالعات درون تنی نشان داد که بیان ژن‌های Cytc و Bim در گروه موش‌های سرطانی تیمار شده

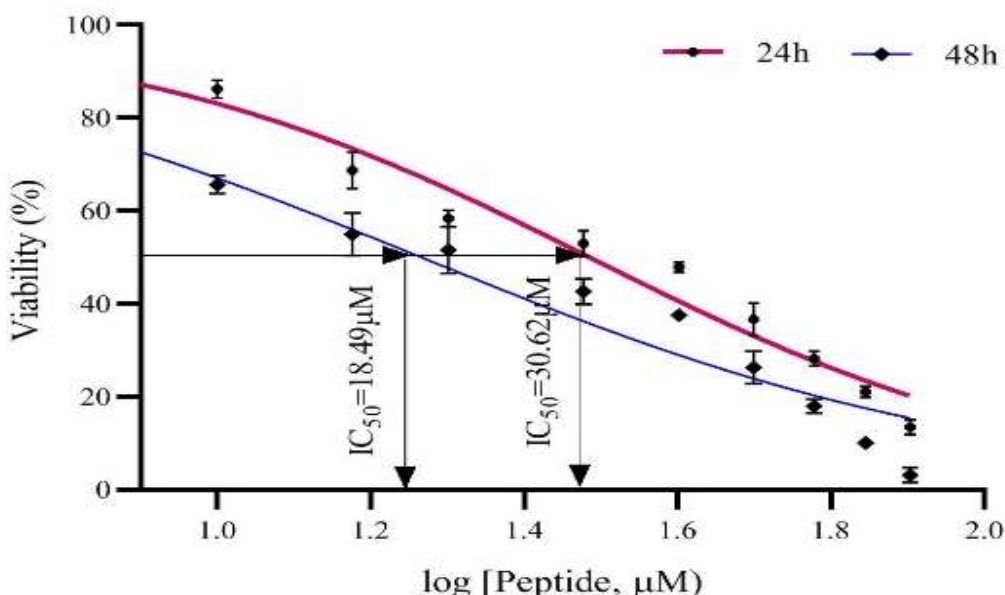
درصد زیست‌پذیری سلولی و محاسبه IC50: نتایج سنجش MTT نشان داد که ارتباطی معکوس میان درصد زنده مانی سلول‌های زنده سرطانی HeLa تیمار شده با غلظت‌های مختلف پیتید ۱۰-HL و سلول‌های بدون تیمار وجود داشت، بطوریکه با افزایش غلظت پیتید ۱۰-HL، درصد سلول‌های زنده تیمار شده کاهش نشان داد ($p < 0/05$). مقدار IC50 برای پیتید ۱۰-HL در زمان ۲۴ ساعت، ۱۸/۴۹ میکرومولار و در زمان ۴۸ ساعت، ۳۰/۶۲ میکرومولار بدست آمد (شکل ۱).

بیان ژن‌های Bcl-2، Bim و CytC: شکل دو، بیان ژن‌های Bcl-2، Bim و CytC در سلول‌های سرطانی

سالم بدون تیمار (NC) افزایش معناداری نشان داد. سطوح سرمی ۴ IL-4 در موش‌های سرطانی تیمار شده با ۵ و ۱۰ میلی‌گرم/کیلوگرم پپتید ۱۰ HL-10 نسبت به موش‌های سرطانی بدون تیمار (Sham)، کاهش معناداری داشت ($p < 0.001$). میان سطوح این سایتوکاین در موش‌های سرطانی تیمار شده با غلظت ۱۰ میلی‌گرم/کیلوگرم پپتید ۱۰ HL-10 در مقایسه با موش‌های سالم بدون تیمار (NC) تفاوت معناداری دیده نشد ($p > 0.05$). نتایج نشان داد که غلظت IL-6 و IL-1 β در سرم موش‌های سرطانی بدون تیمار نسبت به موش‌های سالم بدون تیمار (NC) کاهش معناداری نشان داد. میان سطوح IL-6 در موش‌های سرطانی تیمار شده با غلظت‌های ۵ و ۱۰ میلی‌گرم/کیلوگرم پپتید ۱۰ HL-10 در مقایسه با موش‌های سالم بدون تیمار (NC) تفاوت معناداری دیده نشد ($p > 0.05$). همچنین میان سطوح IL-1 β موش‌های سرطانی تیمار شده با غلظت ۱۰ میلی‌گرم/کیلوگرم پپتید ۱۰ HL-10 در مقایسه با موش‌های سالم بدون تیمار (NC) تفاوت معناداری دیده نشد ($p > 0.05$).

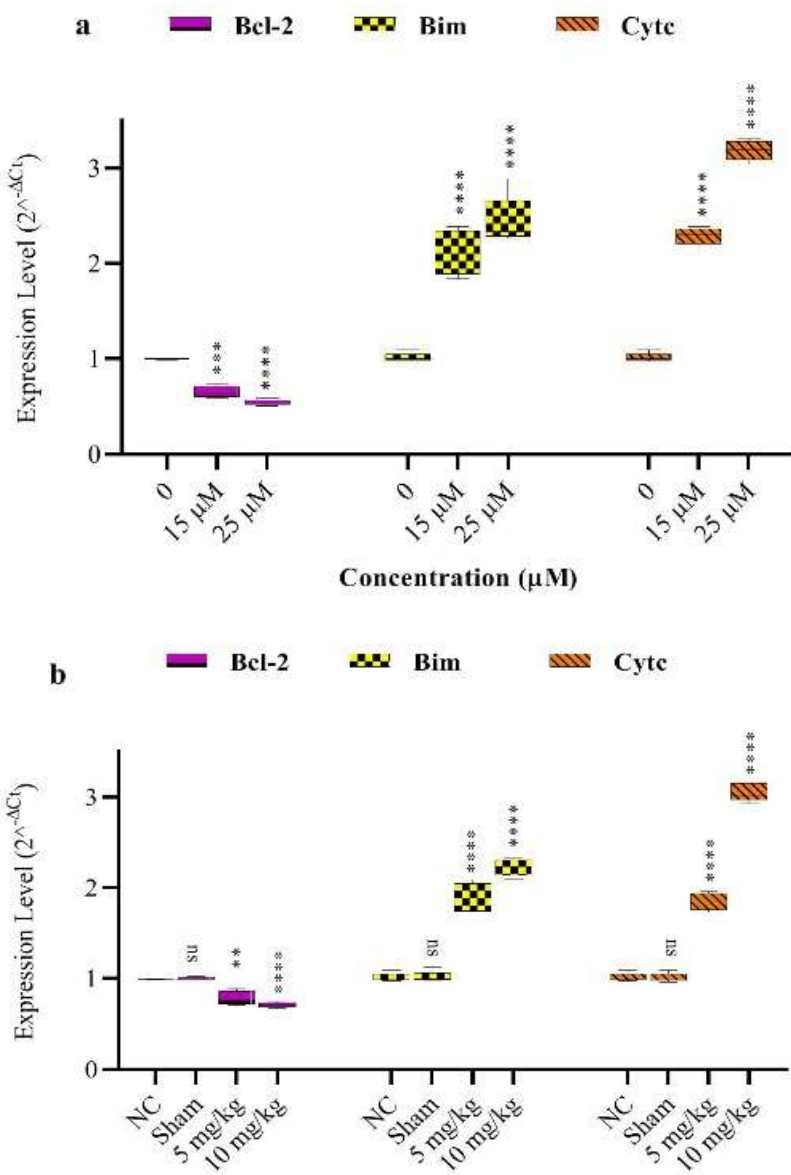
با دو غلظت ۵ و ۱۰ میلی‌گرم/کیلوگرم، افزایش داشت، در صورتی که بیان ژن Bcl-2 کاهش معناداری نشان داد ($p < 0.05$). میان بیان هر سه ژن مورد مطالعه گروه موش‌های سرطانی بدون تیمار (Sham) در مقایسه با گروه موش‌های سالم بدون تیمار (NC) اختلاف معناداری دیده نشد ($p > 0.05$).

فاکتورهای التهابی: همانطور که در شکل ۳ نشان داده است، مقادیر IFN- γ در سرم موش‌های سرطانی بدون تیمار (Sham) و موش‌های سرطانی تیمار شده با دو غلظت ۵ و ۱۰ میلی‌گرم/کیلوگرم پپتید ۱۰ HL-10 در مقایسه با موش‌های سالم بدون تیمار کمتر بود. میان سطوح این فاکتور نشان داد که غلظت ۵ و ۱۰ میلی‌گرم/کیلوگرم پپتید ۱۰ HL-10 در مقایسه با موش‌های سالم بدون تیمار (NC) تفاوت معناداری نداشت ($p > 0.05$). در حالیکه سطوح IFN- γ موش‌های سرطانی بدون تیمار (Sham) در مقایسه با موش‌های سالم بدون تیمار (NC) کاهش معناداری نشان داد ($p < 0.001$). نتایج این مطالعه نشان داد که غلظت ۴ IL-4 در سرم موش‌های سرطانی بدون تیمار (Sham) نسبت به موش‌های



شکل ۱- منحنی دوز پاسخ حاصل از تیمار سلول‌های سرطانی دهانه رحم HeLa با غلظت‌های مختلف پپتید ۱۰-HL در زمان‌های ۲۴ و ۴۸ ساعت

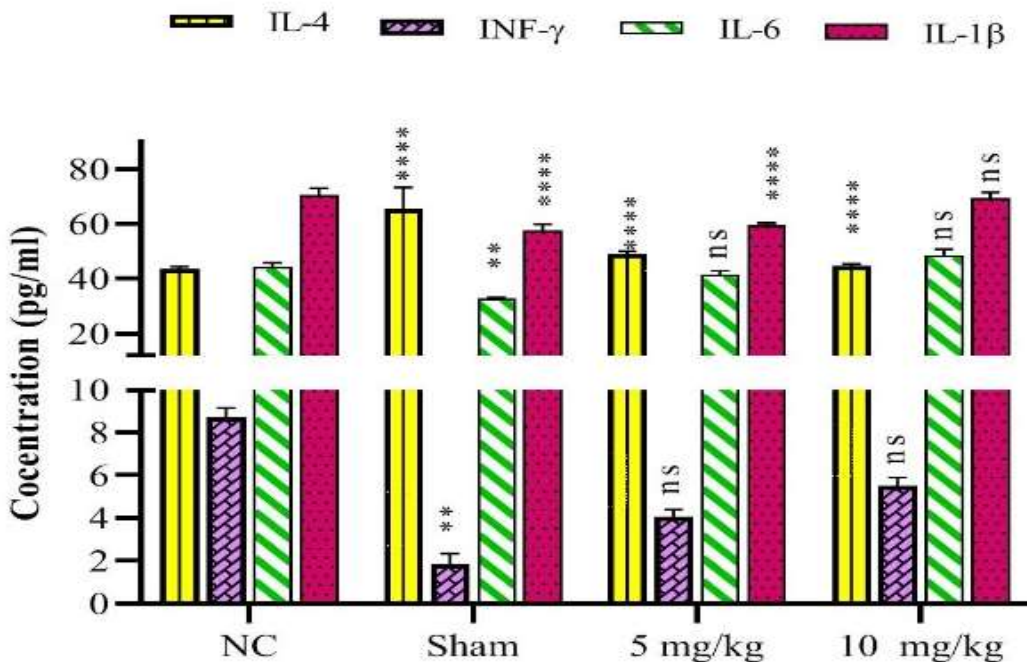
Fig. 1. The dose-response curve shows the impact of HL-10 peptide treatment at varying concentrations on HeLa cervical cancer cells at the 24- and 48-hour time points.



شکل ۲- نتایج Real time PCR ژن‌های BCL-2، Bim و Cyt c در سلول‌های سرطانی دهانه رحم HeLa (a) و سلول‌های بافت تومور در مدل موش‌های balb-c دارای سرطان دهانه رحم تیمار شده با پپتید ۱۰-HL. ۰، ۱۵ و ۲۵ میکرومولار؛ میزان بیان ژن‌های Bcl-2 و Bim و Cyt c در سلول‌های سرطانی دهانه رحم HeLa تیمار شده با غلظت‌های ۰، ۱۵ و ۲۵ میکرومولار پپتید ۱۰-HL. NC: کنترل منفی (گروه موش‌های سالم تیمار نشده); Sham: گروه شام (گروه موش‌های سرطانی تیمار نشده); ۵ و ۱۰ میلی‌گرم/کیلوگرم (گروه موش‌های سرطانی و تیمار شده با پپتید ۱۰-HL در دو غلظت ۵ و ۱۰ میلی‌گرم/کیلوگرم). **، ***: بیان‌گر اختلاف معنادار میان ژن‌های مذکور و نمونه کنترل بدون تیمار است ($p < 0.0001$).

Fig. 2. The real-time PCR findings of the BCL-2, Bim, and Cyt c genes in HeLa cervical cancer cells (a) and tumor tissue cells in the balb-c mice model with cervical cancer treated with HL-10 peptide are as follows: The expression levels of the Bcl-2, Bim, and Cyt c genes in HeLa cervical cancer cells were measured after treatment with doses of 0,

15, and 25 μM of the HL-10 peptide. NC refers to the negative control, which is a group of healthy mice that were not treated. Sham refers to the Sham group, which is a group of cancer mice that were also not treated. The 5 and 10 mg/kg groups are groups of cancer mice that were treated with the HL-10 peptide at two different concentrations: 5 mg/kg and 10 mg/kg. *** denotes a significant difference in the expression of the specified genes compared to the control sample that did not receive any treatment ($p < 0.0001$).



شکل ۳- سطوح سرمی γ -INF، IL-4، IL-6 و IL-1 β پس از القای سرطان با رده سلولی Hela در گروههای تیمار شده با پپتید HL-10: کنترل منفی (گروه موش‌های سالم تیمار نشده با پپتید HL-10); Sham (گروه موش‌های سرطانی تیمار نشده با پپتید HL-10)؛ ۵ و ۱۰ میلی‌گرم/کیلوگرم (گروه موش‌های سرطانی و تیمار شده با پپتید HL-10 در دو غلظت ۵ و ۱۰ میلی‌گرم/کیلوگرم). ** $p < 0.01$ و *** $p < 0.0001$ ، نشان‌دهنده وجود اختلاف معنادار میان ژن‌ها میان سلول‌های سرطانی تیمار شده با پپتید HL-10 در مقایسه با کنترل بدون تیمار است.

Fig. 3. In groups treated with HL-10 peptide, serum concentrations of INF-, IL-4, IL-6, and IL-1 β were measured subsequent to cancer induction using the Hela cell line. NC represents the negative control, which consisted of healthy mice that were not exposed to the HL-10 peptide. Sham denotes the group of cancer mice that were not treated with the HL-10 peptide. The doses of HL-10 peptide administered to the cancer mice were 5 and 10 mg/kg. Significant differences in gene expression were observed between cancer cells treated with HL-10 peptide and untreated control cells, as indicated by ** ($p < 0.01$) and *** ($p < 0.0001$).

بحث

HL-10 در زمان ۲۴ ساعت، ۱۸/۴۹ میکرومولار و در زمان ۴۸ ساعت، ۳۰/۶۲ میکرومولار بدست آمد. Satitmaniwat و همکاران (۲۰۱۶)، اثر پپتید BmKn-2 استخراج شده از سم عقرب را بر سلول‌های سرطانی و طبیعی دهانی بررسی کردند. نتایج تیمار سلول‌ها به مدت ۲۴ ساعت توسط BmK-2 نشان داد که پپتید مذکور، از طریق القاء فرایندهای آپیتوز، دارای اثرات سمیت سلولی قوی بر سلول‌های

یکی از راهبردهای مهم در درمان سرطان، حذف هدفمند سلول‌های سرطانی از طریق القاء آپیتوز است (۴۵). در این مطالعه، اثر پپتید 10-HL بر سلول‌های سرطانی دهانه رحم در غلظت‌های مختلف و در زمان‌های ۲۴ و ۴۸ ساعت انجام شد. نتایج بیانگر کاهش زنده‌مانی و افزایش سمیت سلول‌های سرطانی تیمار شده با پپتید 10-HL در یک روند وابسته به دوز و زمان بود. مقدار IC50 برای پپتید

(DR, DR3, DR6, FAS) و همچنین پروتئین‌های پروآپیتوزی (کاسپاز ۳ و Bax)، و کاهش بیان Bcl-2 و NF-kB گردید. این نتایج بیانگر مهار رشد سلول‌های سرطانی دهانه رحم از طریق مهار مسیر NF-Kb بود. نتایج نشان داد که توکسین‌های طبیعی سم زنبور عسل، به عنوان عوامل ضد سرطانی از طریق فعال سازی مسیر بیرونی آپیتوز سبب مهار رشد سلول‌های سرطانی دهانه رحم شدند (۱۲). در مطالعه‌ای دیگری نشان داده شد که اسکولوپین ۲ (Scolopin-2)، پیتید کاتیونی استخراجی از سم هزارپا، اثرات ضد سرطانی داشت. بررسی‌های بیشتر در این رابطه نشان داد که این پیتید مسیر آپیتوز درونی وابسته به میتوکندری را در سلول‌های سرطانی Hela تحريك کرده و درصد زنده مانی سلولی را با روشی وابسته به دوز کاهش داد (۳۲). نتایج تحقیقی نشان داد که پیتید لیکوزین-۱ (Lycosin-1)، استخراجی از سم عنکبوت *Lycosa singoriensis* با کانفورماتیون آلفا هلیکال خطی خود سبب مهار رشد سلول‌های توموری در شرایط درون تنی و بروون تنی گردید. لیکوزین ۱ با غلظت ۴۰ میکرومولار بیش از ۹۰ درصد سلول‌ها را در رده سلول سرطانی انسانی از جمله H1080، H1299، H1080 و A549 مهار کرد. نتایج بیانگر ورود پیتید به درون سلول و فعال سازی مسیر آپیتوز درونی، افزایش بیان ژن P27 و متعاقباً مهار تکثیر سلولی بود (۱۳). همچنین تحقیقات درون تنی در موش‌های حامل زنگرافت Hela، H1299 و A549 انجام شد. نتایج نشان داد که پیتید لیکوزین ۱ سبب مهار رشد تومورهای کاشته شده در یک روش وابسته به دوز گردید. علاوه بر این سلول‌های بافت توموری تیمار شده با پیتید لیکوزین تغییرات موروفولوژیکی در ارتباط با آپیتوز را نشان دادند (۱۳). در مطالعه حاضر، افزایش بیان ژن‌های Bim و Cytc و کاهش بیان Bcl-2 می‌تواند بیانگر فعال سازی

سرطانی دهان بود. همچنین نتایج آنها نشان داد که در غلظت‌هایی پیتید سبب مرگ سلول‌های سرطانی می‌شوند. در همان غلظت‌ها، زیست‌پذیری سلولی و القاء آپیتوز در سلول‌های طبیعی، تحت تأثیر قرار نگرفت (۲۵). القاء آپیتوز توسط پیتید BmK-2 در سلول‌های سرطانی، در ارتباط با فعال‌سازی بیان ژن p53، افزایش بیان ژن Bax و کاهش ۲ Bcl-2 بود (۲۵). نتایج آنالیز Real Time PCR نشان داد که پیتید -10، سبب کاهش بیان ژن-2 Bcl-2 و افزایش بیان ژن-های BIM و Cytc در سلول‌های سرطانی تیمار شده با پیتید نسبت به سلول‌های سرطانی بدون تیمار شد. مطالعات نشان داده است که ملیتین، به عنوان ترکیبی مهم در سم زنبور عسل، خاصیت ضدسرطانی خود را از طریق افزایش بیان ژن Bax و کاهش ۲ Bcl-2 بر دو رده سلولی سینه و کبد نشان داد (۸). همچنین، مون و همکاران، اثر سم زنبور عسل را بر سلول‌های سرطانی U937 بررسی کردند. نتایج بیانگر آن بود که زهر زنبور عسل سبب کاهش بیان ژن‌های ERK و Bcl-2 شده و بدین صورت سبب آغاز فرایند آپیتوز می‌شود (۱۷). در گزارش قبلی مان، دو پیتید HL-7 و HL-10، اثرات ضد توموری خود را بر سلول‌های سرطانی کبدی HepG2 از طریق افزایش بیان TNF- α و همچنین افزایش نسبت Bax به Bcl-2 نشان دادند (۲۸). در مطالعه حاضر، خواص ضد سرطانی پیتید HL-10 از طریق فرآیند آپیتوز بررسی گردید. این ویژگی، بواسطه افزایش بیان ژن-2 Bcl-2 نشان داده شد. در همچنین کاهش بیان ژن Bim و Cytc و HL-10 نسبت به سلول‌های بدون تیمار معنادار بود ($p < 0.05$). لی و همکاران (۲۰۱۵) دریافتند که تیمار موش‌های balb/c حامل سرطان دهانه رحم با سم زنبور عسل سبب افزایش بیان گیرنده‌های مرگ

در موش‌های حامل S180 بطور قابل توجهی پس از تزریق هیدرولیزات‌های صدف به موش‌ها افزایش یافت (۳۰). در مطالعه دیگر، توانایی سم عقرب *Heteroctenus juneus* بر تنظیم و تعديل غلظت سایتوکاین‌ها بررسی گردید. در این مطالعه، غلظت سایتوکاین‌ها بافت تومور پس از تیمار موش‌های حامل سلول‌های F3II با دوزهای مختلف سم به مدت ۲۴ ساعت بررسی گردید. نتایج نشان داد که سم عقرب قادر به کاهش غلظت IL-6، IL-1 β و IFN- γ بود، در حالیکه سطوح IL-12 و TNF- α را برآورد غلظت سم و طول دوره انکوباسیون آن افزایش داد (۳۳). نتایج مطالعه حاضر نشان داد که مقادیر IL-4 و IL-6 در موش‌های حامل سلول‌های Hela، IL-1 β در موش‌های حامل سلول‌های Hela بدون تیمار افزایش نشان داد، در حالیکه مقدار IL-4 کاهش معناداری نشان داد ($p<0.05$). به نظر می‌رسد که پیتید HL-10 سیستم ایمنی موش‌های balb/c حامل سلول‌های سرطانی دهانه رحم تحریک کرده که منجر به فعالیت ضد توموری آن می‌گردد. اثرات تحریک کنندگی پیتید HL-10 بر سیستم ایمنی، خاصیت درمانی پیتید را در بیماری سرطان نشان میدهد.

نتیجه‌گیری

به طور کلی، اثر پیتید HL-10 بر بیان ژن‌های Bcl-2 و Ctyc دخیل در تنظیم برنامه سلولی آپوپتوز مورد تایید قرار گرفت این گزارش، بیانگر دخیل بودن احتمالی پیتید HL-10 در تنظیم مسیرهای سیگنالینگ آپوپتوز سلولی و درنهایت مرگ سلولی است. یکی دیگر از عوامل موثر در اثرات ضد توموری پیتید-10 را می‌توان به تنظیم سیستم ایمنی از طریق تغییر در سطوح سایتوکاین‌ها نسبت داد. در آینده، مطالعات بیشتری در مورد آپوپتوز و ابعاد مولکولی آن و همچنین

مسیر درونی آپیتوز در سلول‌های سرطانی دهانه رحم در شرایط درون تنی و برون تنی باشد. مطالعات در محیط تومور، بیانگر تغییر ترشح برخی از سایتوکاین‌ها، تکثیر سلول‌های ایمنی و کاهش پاسخ ایمنی است (۷). سایتوکاین‌های ترشح شده از سلول‌های تی IFN- γ ، کمکی نوع یک (Th1: type 1 T helper) (مانند IL-4)، سبب تقویت خواص ضد سرطانی شده و از طریق فعال سازی لنفوسيت‌های تی کشنده (CTLs: cytotoxic T lymphocytes) مانع رشد سلول‌های سرطانی می‌شوند (۱۹). مطالعات نشان داده است که برخلاف IFN- γ ، مقدار ایترلوکین ۴ (IL-4: interleukin-4) مترشحه از سلول‌های Th2، به طور معناداری در طول رشد و گسترش سلول‌های سرطانی افزایش یافت (۱۱). نتایج مطالعه حاضر نشان داد که پس از گذشت ۵ هفته تزریق سلول‌های سرطان دهانه افزایش متعاقباً القای تومور در موش‌های Hela و balb/c، افزایش معناداری در سطوح سرمی IFN- γ در موش‌های سرطانی تیمار شده با پیتید HL-10 در مقایسه با موش‌های سالم بدون تیمار دیده شد، در حالیکه کاهش قابل توجهی در سطوح سرمی IL-4 مشاهده گردید. در مطالعه ای، اثرات ضد سرطانی و تنظیم کنندگی سیستم ایمنی پیتید LyeTxI-b استخراجی از سم عنکبوت *Lycosa erythrognatha* در مدل موش حامل زنوگرافت 4T1 گردید. نتایج نشان داد که تیمار با پیتید LyeTxI-b، بیان فاکتور پیش التهابی IL-1 β را در بافت تومور مهار کرد. از سوی دیگر، بیان فاکتور ضد التهابی IL-10 در بافت توموری تیمار شده با پیتید افزایش پیدا کرد (۱). در گزارشی، فعالیت ضد توموری و اثرات تحریک کننده ایمنی الیگوپیتیدهای صدف خوارکی در موش‌های balb/c حامل S180 بررسی گردید. نتایج مطالعه نشان داد که فعالیت سلول‌های کشنده طبیعی، تکثیر لنفوسيت‌ها در طحال و میزان فاگوسیتوز ماکروفازها

Asian Pacific Journal of Cancer Prevention, 5(1):24-27.

8. Heidari Esfahani E., Doosti A., 2021. The Effects of melittin coding gene of bee venom on *Bcl-2* and *Bax* genes expression in ACHN cells. *Anatomical Sciences Journal*, 18(2):85-91.
9. Hoskin D.W., Ramamoorthy A., 2008. Studies on anticancer activities of antimicrobial peptides. *Biochimica et Biophysica Acta*, 1778(2):357-375.
10. Jeyaprakash J., Hoy M.A., 2009. First divergence time estimate of spiders, scorpions, mites and ticks (subphylum: *Chelicerata*) inferred from mitochondrial phylogeny. *Experimental and Applied Acarology*, 47(1):1-18.
11. Kawakami K., Kawakami M., Husain S.R., Puri R.K., 2003. Effect of interleukin (IL)-4 cytotoxin on breast tumor growth after in-vivo gene transfer of IL-4 receptor alpha chain. *Clinical Cancer Research*, 9(5):1826-1836.
12. Lee H.L., Park S.H., Kim T.M., Jung Y.Y., Park M.H., Oh S.H., Yun H.S., Jun H.O., Yoo H.S., Han S.B., Lee U.S., Yoon J.H., Song M.J., Hong J.T., 2015. Bee venom inhibits growth of human cervical tumors in mice. *Oncotarget*, 6(9):7280-7292.
13. Liu Z., Deng M., Xiang J., Ma H., Hu W., Zhao Y., Li D.W.C., Liang S., 2012. A novel spider peptide toxin suppresses tumor growth through dual signaling pathways. *Current Molecular Medicine*, 12(10):1350-1360.
14. Meki A.R., Nassar A.Y., Rochat H., 1995. A bradykinin-potentiating peptide (peptide K12) isolated from the venom of Egyptian scorpion *Buthus occitanus*. *Peptides*, 16(8): 1359-1365.
15. Mikaelian A.G., Traboulay E., Zhang X.M., Yeritsyan E., Pedersen P.L., Hee Ko.Y., Mataalka K.Z., 2020. Pleiotropic Anticancer properties of scorpion venom peptides: *Rhopalurus princeps* venom as an

بررسی بیشتر در زمینه تعديل سیستم ایمنی برای تایید خواص ضد سرطانی پیتید HL-10 مورد نیاز است.

منابع

1. Abdel-Salam M.A.L., Pinto B., Cassali G., Bueno L., Pegas G., Oliveira F., Silve I., Klein A., de Souza-Fagundes E.M., de Lima M.E., Carvalho-Tavares J., 2021. LyeTx I-b peptide attenuates tumor burden and metastasis in a mouse 4T1 breast cancer model. *Antibiotics (Basel)*, 10(9):1136.
2. Biron C.A., Nguyen K.B., Pien G.C., Cousens L.P., Salazar-Mather T.P., 1999. Natural killer cells in antiviral defense: function and regulation by innate cytokines. *Annual Review of Immunology*, 17:189-220.
3. Gao L., Shan B.E., Chen J., Liu J.H., Song D.X., Zhu B.C., 2005. Effects of spider *Macrothele raven* venom on cell proliferation and cytotoxicity in HeLa cells. *Acta Pharmacologica Sinica*, 26:369-376.
4. Gu Y., Liu S-L., Ju W-Z., Li C-Y., Cao P., 2013. Analgesic-antitumor peptide induces apoptosis and inhibits the proliferation of SW480 human colon cancer cells. *Oncology letters*, 5(2): 483-488.
5. Guo Y., Srinivasula S.M., Drulhe A., Fernandes-Alnemri T., Alnemri E.S., 2002. Caspase-2 induces apoptosis by releasing proapoptotic proteins from mitochondria. *Journal of Biological Chemistry*, 277(16): 13430-13437.
6. Gupta S.D., Gomes A., Debnath A., Saha A., Gomes A., 2010. Apoptosis induction in human leukemic cells by a novel protein Bengalin, isolated from Indian black scorpion venom: through mitochondrial pathway and inhibition of heat shock proteins. *Chemico-Biological Interactions*, 183:293-303.
7. Harirchi I., Karbaksh M., Kashefi A., Momtahen A.J., 2004. Breast cancer in Iran: results of a multi-center study.

24. Riedl S., Zweytick D., Lohner K. 2011. Membrane-active host defense peptides-challenges and perspectives for the development of novel anticancer drugs. *Chemistry and Physics of Lipids*, 164(8):766-781.
25. Satitmaniwat S., Changsangfa C., Khanuengthong A., Promthep K., Roytrakul S., Arpornsuwan T., 2016. The scorpion venom peptide BmKn2 induces apoptosis in cancerous but not in normal human oral cells. *Biomedicine & Pharmacotherapy*, 84: 1042-1050.
26. Setayesh-Mehr Z., Asoodeh A., 2017. The inhibitory activity of HL-7 and HL-10 peptide from scorpion venom (*Hemiscorpius lepturus*) on angiotensin converting enzyme: Kinetic and docking study. *Bioorganic Chemistry*, 75:30-37.
27. Setayesh-Mehr Z., Asoodeh A., 2019. Inhibitory effect of HL-7 and HL-10 peptides on human breast cancer cells by induction of the expression of antioxidant enzymes. *International Journal of Peptide Science and Therapeutics*, 25(40):1343-1341.
28. Setayesh-Mehr Z., Asoodeh A., Poorsargol M., 2021. Upregulation of Bax, TNF- α and down-regulation of Bcl-2 in liver cancer cells treated with HL-7 and HL-10 peptides. *Biologia*, 76:2735-2743.
29. Sun X., Xu Q., Zeng L., Xie L., Zhao Q., Xu H., Wang X., Jiang N., Fu P., Sang M., 2020. Resveratrol suppresses the growth and metastatic potential of cervical cancer by inhibiting STAT3Tyr705 phosphorylation. *Cancer Medicine*. 9(22):8685-8700.
30. Wang Y.K., He H.L., Wang G.F., Wu H., Zhou B.C., Chen X.L., Zhang Y.Z., 2010. Oyster (*Crassostrea gigas*) hydrolysates produced on a plant scale have antitumor activity and immunostimulating effects in BALB/c mice. *Marine Drugs*, 8(2):255-268.
31. Willems J., Moerman L., Bosteels S., Bruyneel E., Ryniers F., Verdonck F., 2011. Anticancer agent. *Drug Design, Develop and Therapeutics*, 14:881-893.
16. Miyashita M., Sakai A., Matsushita N., Hanai Y., Nakagawa Y., Miyagawa H., 2010. A novel amphipathic linear peptide with both insect toxicity and antimicrobial activity from the venom of the scorpion *Isometrus maculatus*. *Bioscience, Biotechnology, and Biochemistry*, 74(2): 364-369.
17. Moon D-O., Park S-Y., Heo M-S., Kim K-C., Park C., Ko W.S., 2006. Key regulators in bee venom-induced apoptosis are *Bcl-2* and caspase-3 in human leukemic U937 cells through downregulation of ERK and Akt. *International Immunopharmacology*, 6(12):1796-1807.
18. Ortiz E., Gurrola G.B., Schwartz E.F., Possani L.D., 2015. Scorpion venom components as potential candidates for drug development. *Toxicon*, 93:125-135.
19. Otsuki N., Dang N.H., Kumagai E., Kondo A., Iwata S., Morimoto C., 2010. Aqueous extract of *Carica papaya* leaves exhibits anti-tumor activity and immunomodulatory effects. *Journal of Ethnopharmacology*, 127(3):760-767.
20. Petricevich V.L., Lebrun I., 2005. Immunomodulatory effects of the *Tityus serrulatus* venom on murine macrophage functions in-vitro. *Mediators of Inflammation*, 1:39-49.
21. Pipelzadeh M.H., Dezfoulian A.R., Jalali M.T., Mansori A.K. 2006. *In vitro* and *in vivo* studies on some toxic effects of the venom from *Hemiscorpius lepturus* scorpion. *Toxicon*, 48: 93-103.
22. Piperi C., Zisakis A.W., Lea R., Kalofoutis A., 2005. Role of cytokines in the regulation of glioma tumour growth and angiogenesis. *American Journal of Immunology*, 1:106-113.
23. Possani L.D., Becerril B., Delepierre M., Tytgat J., 1999. Scorpion toxins specific for Na⁺-channels. *European Journal of Biochemistry*, 264:287-300.

- inflammatory cytokines in F3II tumor cells. *Life (Basel)*, 13(12):2287.
34. Zeng X.C., Li W.X., Peng F., Zhu Z.H. 2000. Cloning and characterization of a novel cDNA sequence encoding the precursor of a novel venom peptide (BmKbpp) related to a bradykinin-potentiating peptide from Chinese scorpion *Buthus martensi* Karsch. *IUBMB Life*, 49(3):207-210.
35. Zeng X., Corzo G., Hahin R., 2005. Scorpion venom peptides without disulfide bridges. *IUBMB Life*, 57(1):13-21.
2004. Parabutoporin an antibiotic peptide from scorpion venom can both induce activation and inhibition of granulocyte cell functions. *Peptides*, 25(7):1079-1084.
32. Yan W., Lu J., Li G., Wei H., Ren W.H., 2018. Amidated Scolopin-2 inhibits proliferation and induces apoptosis of HeLa cells *in vitro* and *in vivo*. *Biotechnology and Applied Biochemistry*, 65:672-679.
33. Yglesias-Rivera A., Sánchez-Rodríguez H., Soto-Febles C., Monzote L., 2023. *Heteroctenus junceus* scorpion venom modulates the concentration of pro-